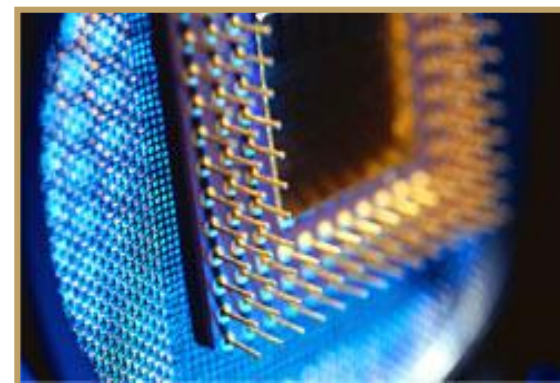
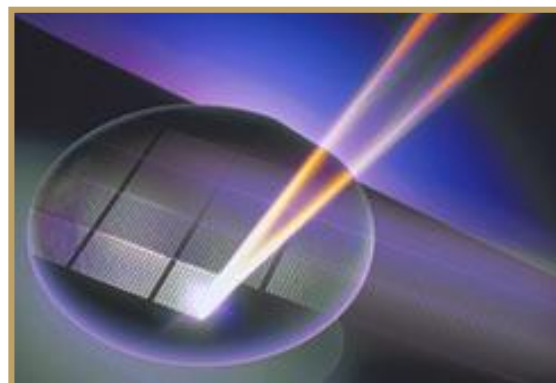
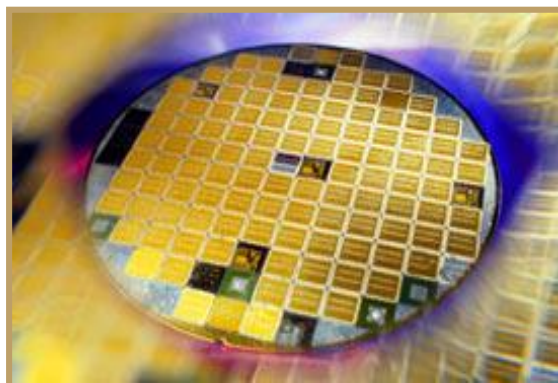




《VLSI数字通信原理与设计》实验课

实验三：卷积码编解码实验





目录

01 实验背景

02 实验目标

03 卷积编码&凿孔

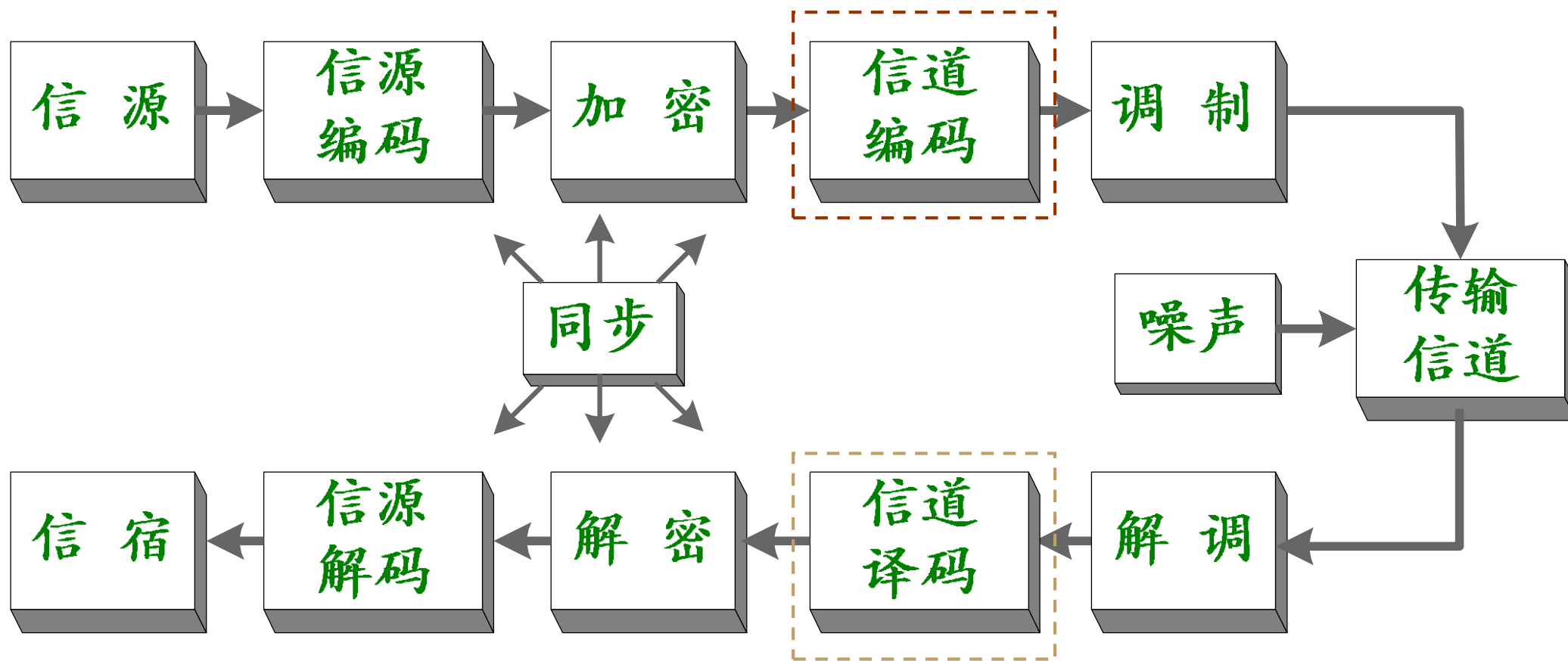
04 卷积码译码

05 仿真平台介绍

06 报告要求



信道编码与译码



信道编码与译码

■ 信道编码保证信息传输的正确性

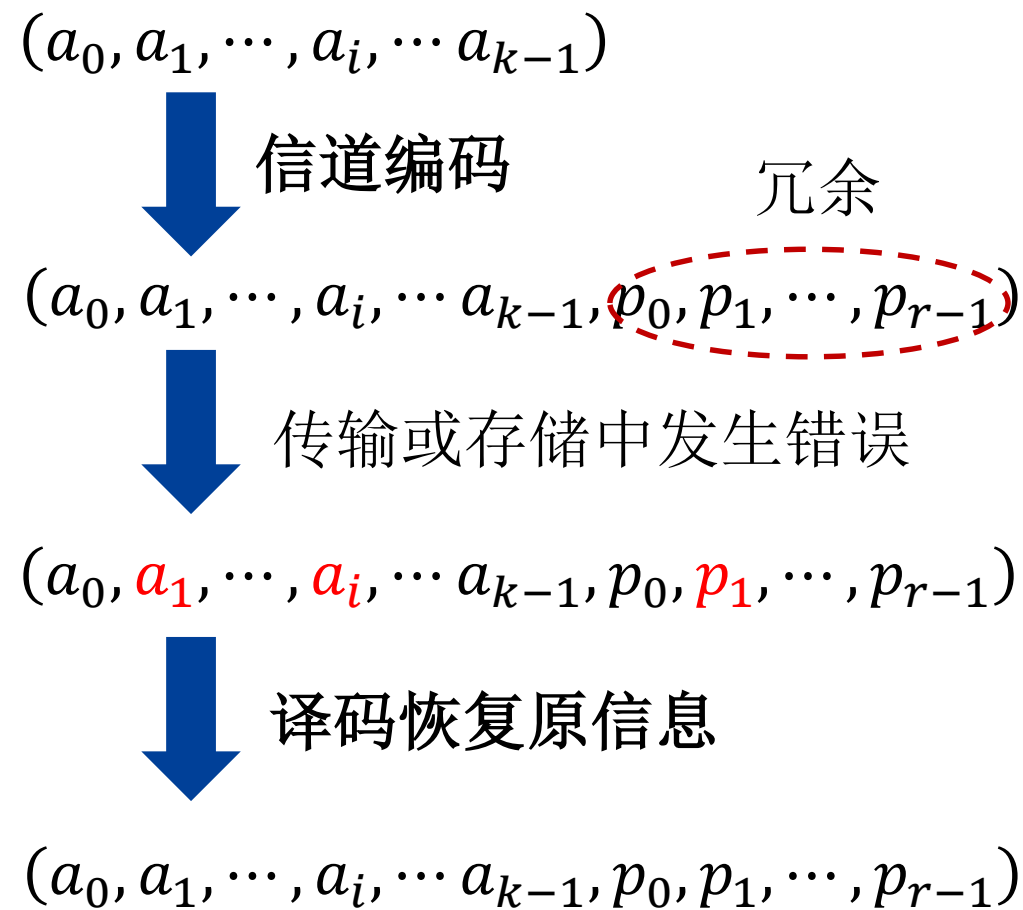
在信息中插入冗余，使其获得检错或者纠错的能力。

■ 数字移动通信系统中的信道编码

Turbo码 (3/4G) , LDPC码 (5G数据信道) , Polar码 (5G控制信道) 。

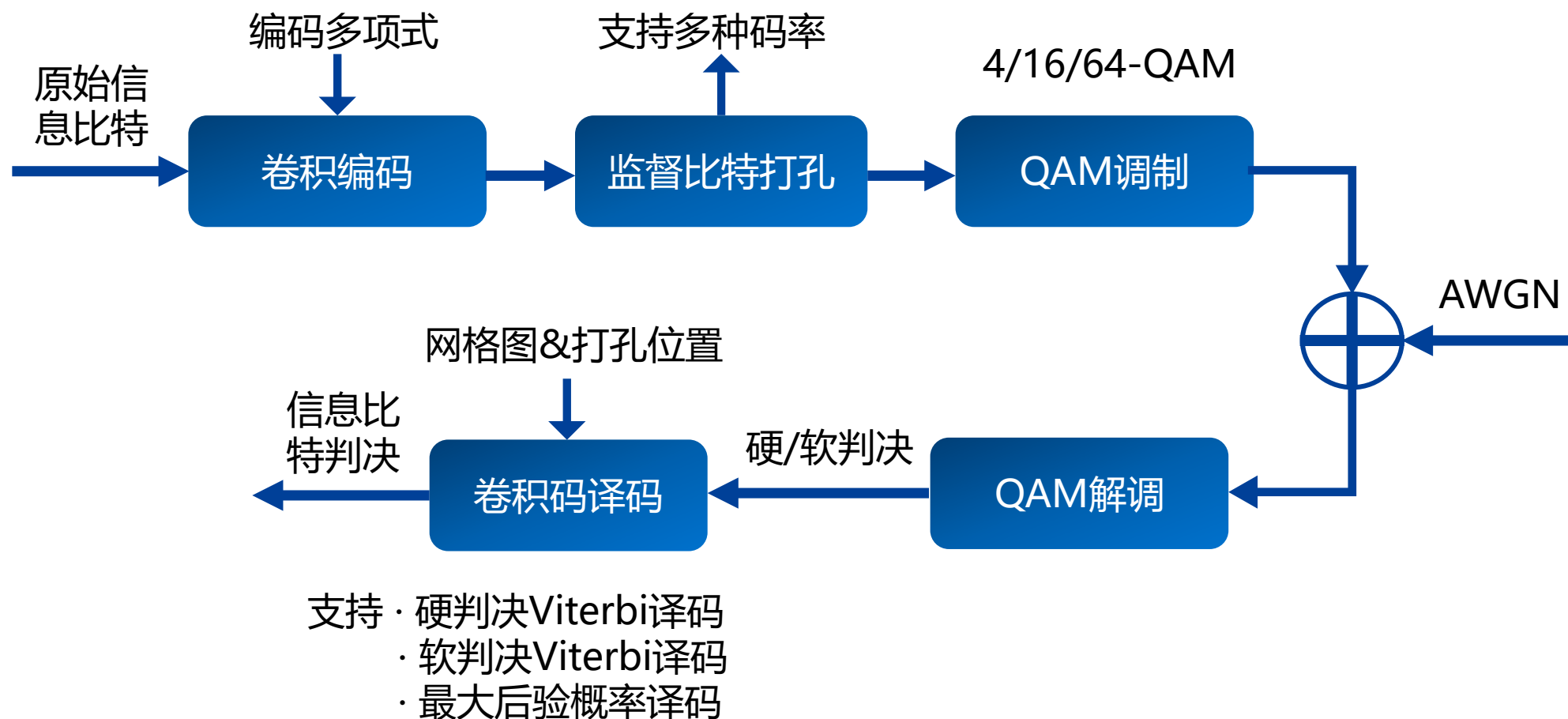
■ 常见信道编码

Hamming码、BCH码、RS码、卷积码、Turbo码、LDPC码、Polar码。



提供如下蒙特卡洛仿真平台，支持多种译码算法同时仿真对比

其中编码函数和部分译码算法为MATLAB工具箱自带





目 录

01 实验背景

02 实验目标

03 卷积编码&凿孔

04 卷积码译码

05 仿真平台介绍

06 报告要求



实验目标

- 理解**信道编解码与凿孔**在通信系统中的作用，掌握卷积码**编码原理**以及**最大似然译码**流程
- 编写**(2,1,7)卷积码编码**模块与**Viterbi译码模块(支持凿孔)**
- 完成整个链路的仿真以及相关性能分析
- 实验环境：MATLAB
- **本次实验至多两人一组，鼓励一人一组。**



目录

01 实验背景

02 实验目标

03 卷积编码 & 凿孔

04 卷积码译码

05 实验要求

06 仿真平台介绍

卷积码 (Convolutional Code)

卷积码属纠错码，通过移位寄存器与模2加法进行编码

卷积码于1955年由Peter Elias提出；

1967年Andrew Viterbi提出了著名的**Viterbi译码算法**；

1974年，Bahl, Cocke, Jelinek, Raviv给出了卷积码的最大后验概率译码方案——BCJR算法

卷积码由于码长、码率的灵活性以及高效的编解码而用途广泛

全世界每秒Viterbi译码器恢复的二进制比特数是 10^{15}



Peter Elias

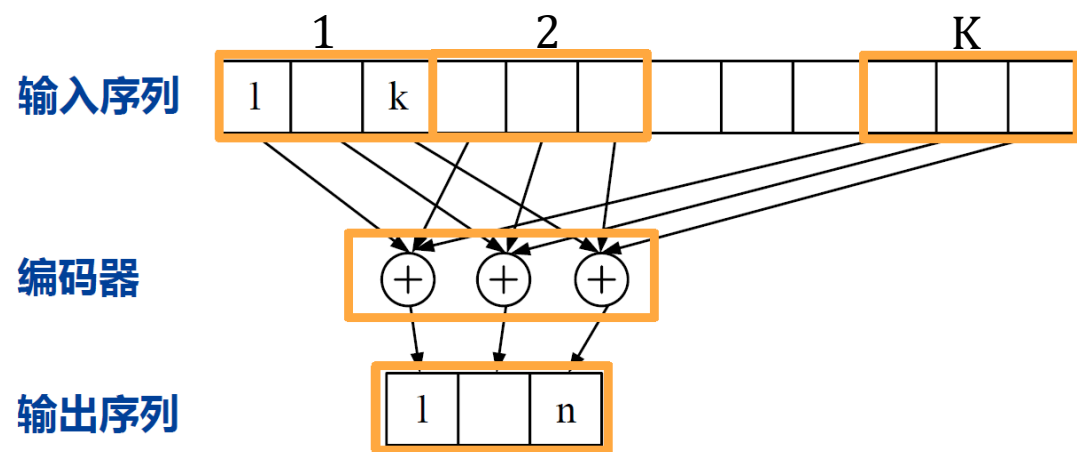


Andrew Viterbi

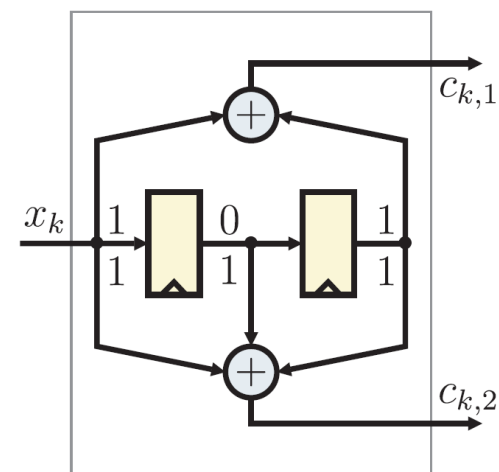
卷积编码的基本概念

(n, k, K) 卷积编码:

通过将输入信息比特序列与编码器做模2卷积运算, 将 k 位信息比特编成 n 位编码比特。此 n 比特不仅与当前 k 位信息比特有关, 还与前面 $(K - 1)$ 段信息比特有关



(a) (n, k, K) 卷积编码过程



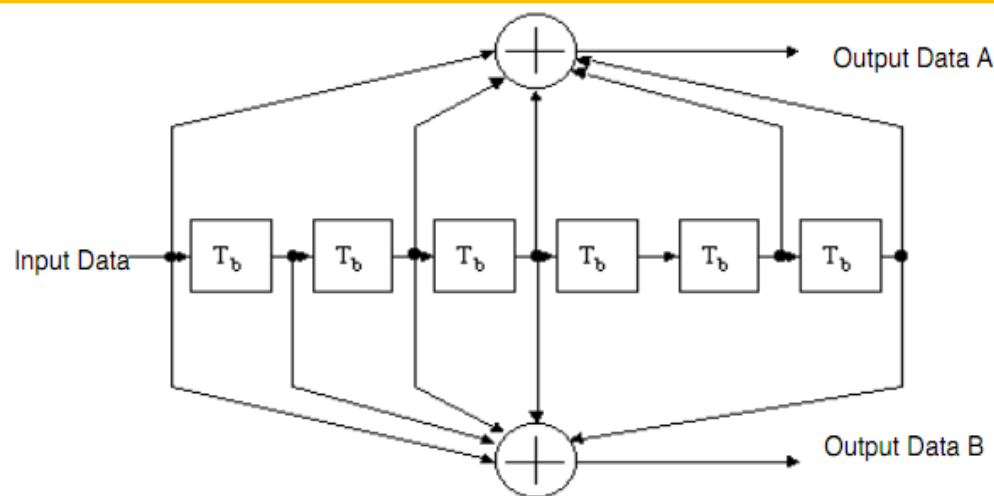
(b) 例子: $(2,1,3)$ 卷积编码器电路

(n, k, K) 卷积编码参数:

- k : 编码器输入信息比特数
- n : 编码器输出编码比特数
- K : 约束长度 (每个输出序列约束 K 个输入序列)
- 码率 R : 信息比特占比, $R = k/n$

(2,1,7)卷积编码

IEEE 802.11n协议中规定卷积编码使用的八进制生成多项式为 $[133 \ 171]_O$,
即(2,1,7)卷积码:



$$\rightarrow g_1 = 1011011_b \rightarrow 133_O$$

$$\rightarrow g_2 = 1111001_b \rightarrow 171_O$$

该编码方案具有 $2^n = 4$ 种输出状态, $2^k = 2$ 种输入状态, $2^{K-1} = 64$ 个寄存器状态

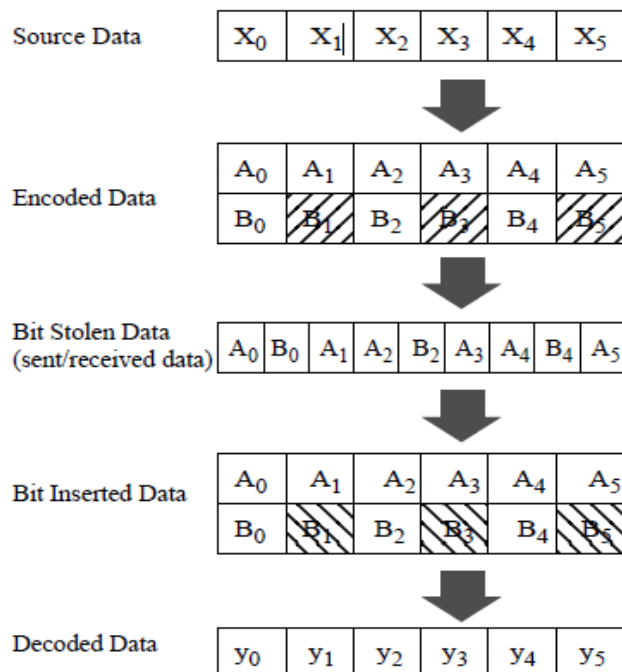
注意: 编码前要使得所有寄存器清零; 编码最后要在信息序列最后补上 $(K-1)=6$ 个0, 确保信息序列尾部也能完全移除寄存器, 否则纠错性能将会下降! (或者, 寄存器状态在编码前、后已知)

卷积码凿孔 (Puncturing)

凿孔：通过减少冗余，牺牲部分纠错性能来提高码率，降低发射功耗

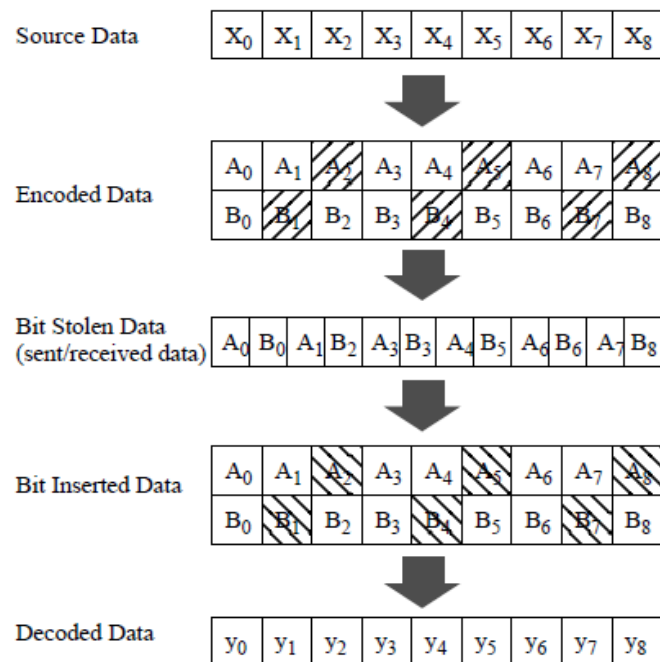
码率为1/2的卷积码，可通过**不发射部分监督比特**来实现高码率传输

Punctured Coding ($r = 2/3$)



凿孔方案1：码率1/2 \rightarrow 2/3

Punctured Coding ($r = 3/4$)



凿孔方案2：码率1/2 \rightarrow 3/4

为了实现更高的传输效率，部分监督比特(图中阴影部分)在发射前，被“挤掉”了

卷积码凿孔 (Puncturing)

为了降低凿孔对性能的影响，凿孔比特位置需精心设计

对1/2码率的卷积码，IEEE 802.11n给出了如下的凿孔(发射)比特方案

码率 $1/2 \Rightarrow 2/3$:

对于2个信息比特，编码生成4个比特 c_1, c_2, c_3, c_4 ，发射索引为

1 2 3

处的3个编码比特

码率变化: $\frac{1}{2} \times \frac{4}{3} = \frac{2}{3}$

码率 $1/2 \Rightarrow 3/4$:

对于3个信息比特，编码生成6个比特 c_1, c_2, \dots, c_6 ，发射索引为

1 2 3 6

处的4个编码比特

码率变化: $\frac{1}{2} \times \frac{6}{4} = \frac{3}{4}$

思考：凿孔带来了部分监督比特的缺失，在使用Viterbi译码时该如何调整译码流程 (如何处理凿孔位置的分支度量)?



目 录

01 实验背景

02 实验目标

03 卷积编码&凿孔

04 卷积码译码

05 仿真平台介绍

06 报告要求

卷积码译码

卷积码的译码方式可分为硬判决译码和软判决译码 (例如, Viterbi译码)

硬判决译码: 译码输入为接收序列量化后的0, 1值

软判决译码: 译码输入为未量化的模拟值(0~1)

相较于软判决, 硬判决译码在量化时丢失了信息从而导致性能有2~3dB损失

例如, 接收到模拟量0.51和0.99时, 软判决译码会利用其不同的可信度, 而在硬判决译码中, 两者都被视为1并相同对待, 从而导致了信息损失

给定接收序列, **Viterbi译码利用动态规划的思想借助网格图进行最大似然译码**

硬判决Viterbi: 加、比、选 ➡ 最小化与接收序列之间的**汉明距离**

软判决Viterbi: 加、比、选 ➡ 最小化与接收序列之间的**欧式距离**

Viterbi译码：最大似然译码

Viterbi译码利用动态规划思想在网格图上寻找最小路径，实现最大似然译码
最大似然译码：给定码字 \mathbf{c} 经过信道的观测 \mathbf{r} ，寻找最有可能(最大化似然函数)的码字 $\hat{\mathbf{c}}$ ，使得码字错误概率 $\Pr(\hat{\mathbf{c}} \neq \mathbf{c})$ 最小化，即寻找

$$\hat{\mathbf{c}} = \underset{\mathbf{c}}{\operatorname{argmax}} p(\mathbf{r}|\mathbf{c}), p \text{ 为似然函数} \quad (1)$$

对于硬判决译码($r_i = 0 \text{ or } 1$)，最大似然译码(1)等价于最小化汉明距离：

$$\hat{\mathbf{c}} = \underset{\mathbf{c}}{\operatorname{argmin}} d_{\text{H}}(\mathbf{r}, \mathbf{c}) \quad (2)$$

对于软判决译码($0 \leq r_i \leq 1$)，最大似然译码(1)等价于最小化欧式距离：

$$\hat{\mathbf{c}} = \underset{\mathbf{c}}{\operatorname{argmin}} d_{\text{E}}(\mathbf{r}, \mathbf{c}) \quad (3)$$

注：(2)(3)的详细推导见附录

Viterbi译码介绍

以(2,1,7)卷积码为例, 给出如下定义 (暂不考虑凿孔对译码的影响)

对于长度为 L 的网格图, 任意第 $l(1 \leq l \leq L)$ 个时刻处理两个比特, 定义**汉明/欧式距离**

$$\lambda_l = \sum_{j=1}^2 d_H(r_l^{(j)}, c_l^{(j)}) = r_l^{(1)} \oplus c_l^{(1)} + r_l^{(2)} \oplus c_l^{(2)} \quad \text{对于硬判决译码}$$

$$\lambda_l = \sum_{j=1}^2 d_E(r_l^{(j)}, c_l^{(j)}) = \left(r_l^{(1)} - c_l^{(1)}\right)^2 + \left(r_l^{(2)} - c_l^{(2)}\right)^2 \quad \text{对于软判决译码}$$

为**分支度量 (branch metric)**, 定义 $\Gamma_L = \sum_{l=1}^L \lambda_l$ 为**路径度量(path metric)**

Viterbi译码中涉及到的变量如下所示:

$\lambda_l(s', s)$: 第 $(l-1)$ 时刻的状态 s' 到第 l 时刻的状态 s 的分支度量, 其中 $s', s \in \{0, 1, \dots, 63\}$

$\Gamma_{l-1}(s')$: 第 $(l-1)$ 时刻抵达状态 s' 处的幸存路径的路径度量

$\Gamma_l(s', s)$: 将第 $(l-1)$ 时刻的状态 s' 延展到第 l 时刻的状态 s , 所得路径的路径度量, 即

$$\Gamma_l(s', s) = \Gamma_{l-1}(s') + \lambda_l(s', s)$$

Viterbi译码流程

加-比-选 迭代寻找最短路径:

初始化: 令 $\Gamma_0(0) = 0$, 其余 $\Gamma_0(s') = -\infty, \forall s' \in \{1, \dots, 63\}$ (编码前所有寄存器置为零状态)

for $l = 1$ **to** L

1. 根据卷积码的状态转移图, 计算所有可能的分支度量 $\lambda_l(s', s)$

2. 对于第 $(l - 1)$ 时刻的每个状态 s' , 以及其所有可能抵达的第 l 时刻的状态 s , 计算路径度量
 $\Gamma_l(s', s) = \Gamma_{l-1}(s') + \lambda_l(s', s)$ //加

3. 对于第 l 时刻的每个状态 s , 比较所有的 $\Gamma_l(s', s)$ 得到幸存路径度量 $\Gamma_l(s)$, 即
 $\Gamma_l(s) = \min_{s'} \Gamma_l(s', s)$ //比

并将这些幸存路径(状态和度量)选出, 保存在幸存路径矩阵中 //选

end for

回溯译码:

由于信息序列末尾补零, 末尾时刻寄存器强制为零状态, 最大似然路径是第 L 时刻状态为0的幸存路径。从该路径的第 L 时刻回溯至第1时刻, 即可得到最大似然码字

Viterbi译码补充：凿孔

对凿孔的处理：仍视作对原1/2码率卷积码的译码；在计算分支度量时**跳过**凿孔比特位置的距离计算

以硬判决译码为例，若第 l 组比特的第2个编码比特 $c_l^{(2)}$ 被凿孔，分支度量由

$$\lambda_l = \sum_{j=1}^2 d_H(r_l^{(j)}, c_l^{(j)}) = r_l^{(1)} \oplus c_l^{(1)} + r_l^{(2)} \oplus c_l^{(2)} \quad \text{无凿孔}$$

修改为

$$\lambda_l = \sum_{j=1}^2 d_H(r_l^{(j)}, c_l^{(j)}) = r_l^{(1)} \oplus c_l^{(1)} \quad c_l^{(2)} \text{被凿孔}$$

Viterbi译码补充：滑动窗减小存储开销

■ **每个状态的幸存路径**都需要存储对应的**比特路径及其度量**，当序列长度较长时，存储开销较大

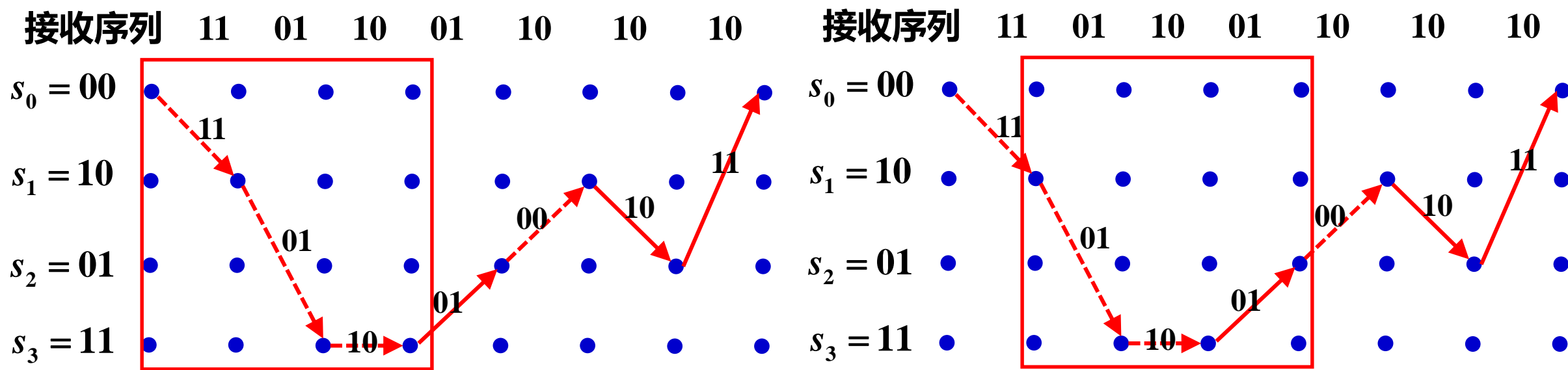
■ 有限回溯长度的Viterbi译码：**设置回溯长度 $TbLen$** (一般为 $(K - 1)$ 的5-10倍)**分段译码**，可以减小内存开销且几乎无损性能

■ 有限回溯长度的Viterbi译码**通过滑动窗口实现**，以长度为 $TbLen$ 的滑动窗口在网格上滑动译码，只有**滑动窗口内的比特**将会被存储

从初始状态开始到滑动窗口存储了 2^{K-1} 条幸存路径，每条路径存储了 $TbLen$ 比特及其分支度量，此时滑动窗口的存储已满，在进行下一个比特的译码前，需要对第一个比特进行判决，以腾出新的存储空间存放下一个比特

Viterbi译码补充：滑动窗减小存储开销

滑动窗口举例： $TbLen = 3$ （这里没有约束长度5倍以上，仅作为示例）



- 从初始状态到滑动窗口被4条幸存路径的比特及其度量填满
- 此时滑动窗口内近存放每条幸存路径的前3个比特

- 处理下一比特之前，滑动窗口需要对第一个比特进行判决并空出其存储位置给下一比特
- 此时滑动窗口内存放每条路径的比特2、3、4



目录

01 实验背景

02 实验目标

03 卷积编码&凿孔

04 卷积码译码

05 仿真平台介绍

06 报告要求

■ 函数poly2trellis: 由生成多项式与约束长度生成网格图信息

```
trellis = poly2trellis(7, [133 171]); % requires communication toolbox
```

其中结构体trellis中的参数可以完全描述该卷积码, 包括:

numInputSymbols: $2^k = 2$ 个输入状态数 (0 1)

numOutputSymbols: $2^n = 4$ 个输出状态数 (00 01 10 11)

numStates: $2^{K-1} = 64$ 个寄存器状态数 (000000~111111)

nextStates: numStates $\times 2^k$ 的寄存器状态转移矩阵。1~64行表示000000~111111个当前状态, 1~2列表示输入0, 1, 矩阵元素表示当前状态+输入得到的下一寄存器状态 (0~63)

outputs: numStates $\times 2^k$ 的输出矩阵。行列意义与矩阵nextStates一致, 矩阵元素表示当前状态+输入产生的输出(0~3)

基本函数

■ 函数convenc: 利用网格图对信息比特序列进行卷积编码

```
coded_bits = convenc(info_bits, trellis); % requires communication toolbox
```

■ 凿孔 (等价于发射编码比特序列中, 对应索引index处的比特)

```
coded_bits_punctured = coded_bits(index);
```

对于 2^Q 阶调制, 码率为 R 的系统, 比特功率 $E_b = E_s/(RQ)$, 从而比特信噪比(dB)为

$$\frac{E_b}{N_0} (dB) = \frac{E_s}{N_0} (dB) - 10 \log_{10} RQ$$

其中符号功率 E_s 一般归一化为1

基本函数

硬判决译码

```
info_bits_hat = vitdec(rx_bits, trellis, tlen, 'term', 'hard', puncturing_pattern);
```

info_bits_hat: 对信息比特的判决

rx_bits: 接收01序列

trellis: poly2trellis函数生成的网格图信息

tlen: 回溯长度

% A rate 1/2 code has a TracebackDepth of 5(k-1).

% A rate 2/3 code has a TracebackDepth of 7.5(k-1).

% A rate 3/4 code has a TracebackDepth of 10(k-1). k is constrain length.

'term': 代表编码前、后寄存器都置零

'hard': 代表输入序列为01硬判决

puncturing_pattern: 代表打孔比特位置, 例如[1 1 1 0] (逻辑数组, 表示每4个编码比特凿去第4个)

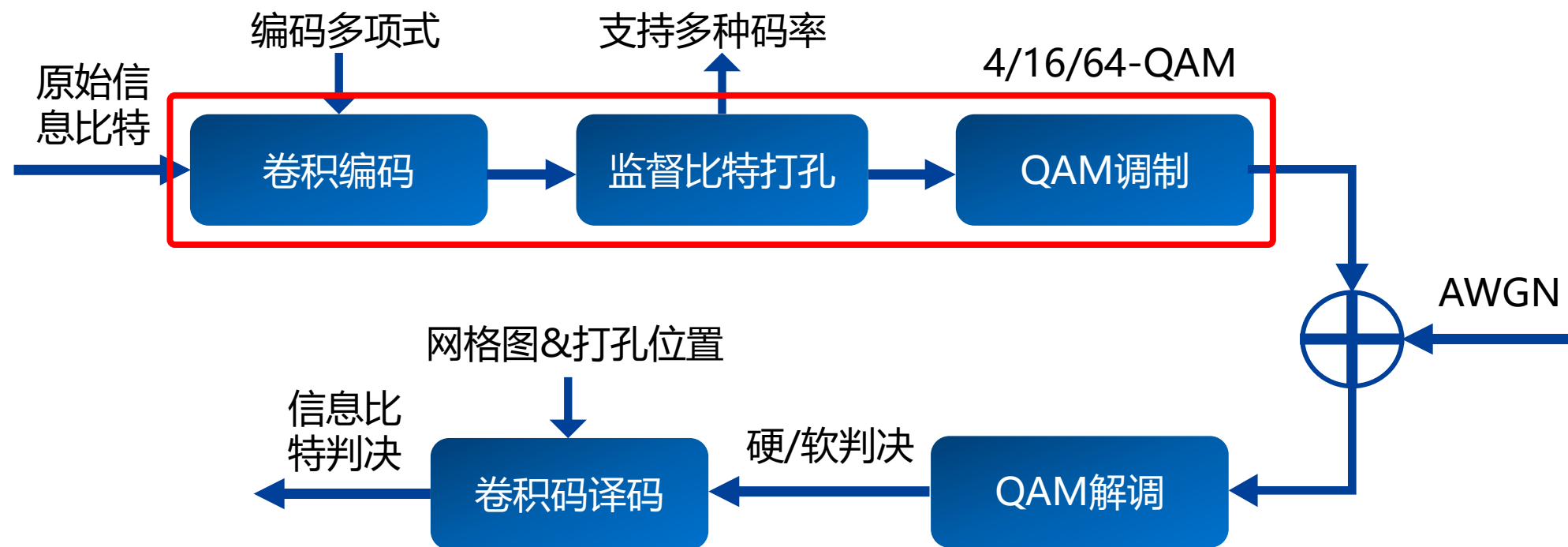
软判决译码

```
info_bits_hat = vitdec(rx_data, trellis, tlen, 'term', 'unquant', puncturing_pattern);
```

rx_data: 未量化软输入, 这里正值对应逻辑0, 负值对应逻辑1

'unquant': 代表输入序列为非量化值

仿真平台介绍



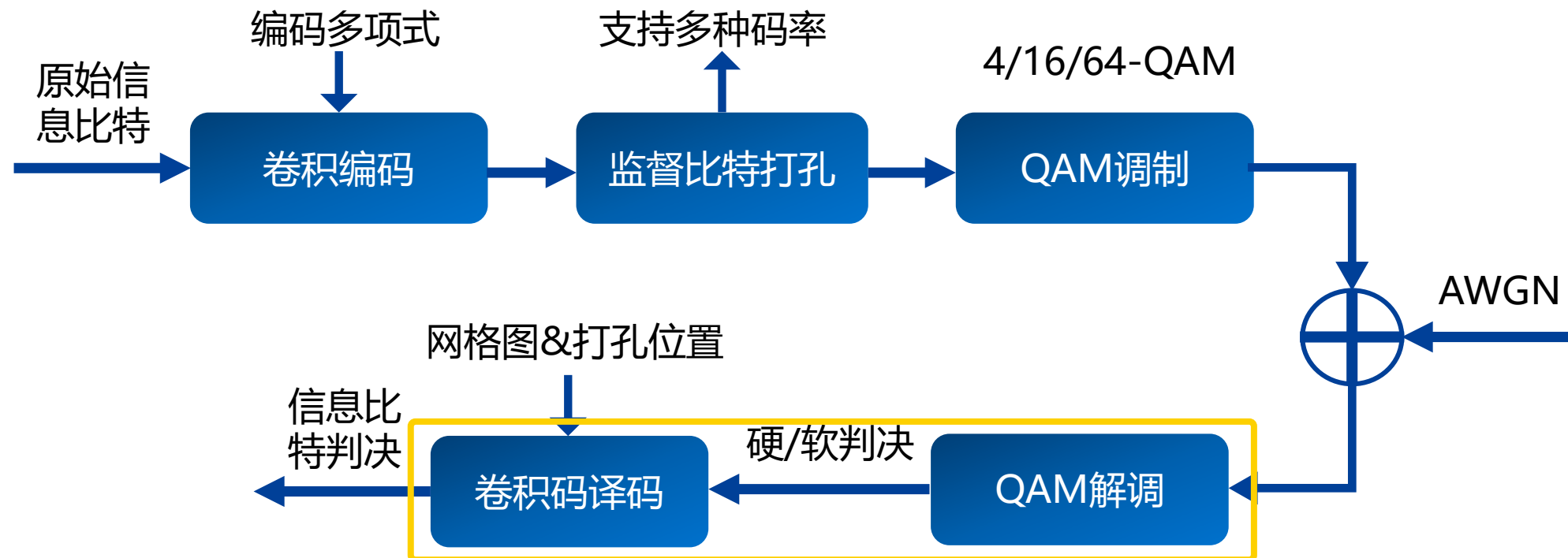
CC_sim.m: 主函数, 根据随机种子生成伪随机数, 支持多种译码算法在不同调制/码率下误比特率/误码字率的蒙特卡洛仿真

initial.m: 初始化模块, 准备4/16/64-QAM调制的星座点集合与卷积码网格图、打孔位置

CC_encoder.m: 编码模块, 采用MATLAB自带函数对信息比特做卷积编码(请自行实现), 并完成了打孔功能, 可实现1/2, 2/3, 3/4三种码率的卷积编码

QAM_mod.m: 调制模块, 支持编码比特的4/16/64-QAM调制

仿真平台介绍



hard_demod/soft_demod.m: 解调模块, 生成接收序列的硬判决比特/软判决LLR
CC_decoder: 卷积码译码模块, 包含**MATLAB自带的硬判决和软判决Viterbi译码函数(请自行实现其中之一)**以及最大后验概率 (MAP) 译码算法

BERTOOL给出了各种调制下的硬判决Viterbi译码的性能上界渐进曲线。对于QPSK/4-QAM，还给出了软判决Viterbi译码的性能渐进曲线

```
fx >> bertool
```

Bit Error Rate Analysis

File Acceleration Edit Window Help

Plot	BER Data Set	Eb/N0 (dB)	BER	# of Bits	Confidence Level	Fit	Run Time
------	--------------	------------	-----	-----------	------------------	-----	----------

Monte Carlo Theoretical

E_b/N₀ range: 0:0.5:7 dB

Channel type: AWGN

Modulation type: QAM

Modulation order: 4

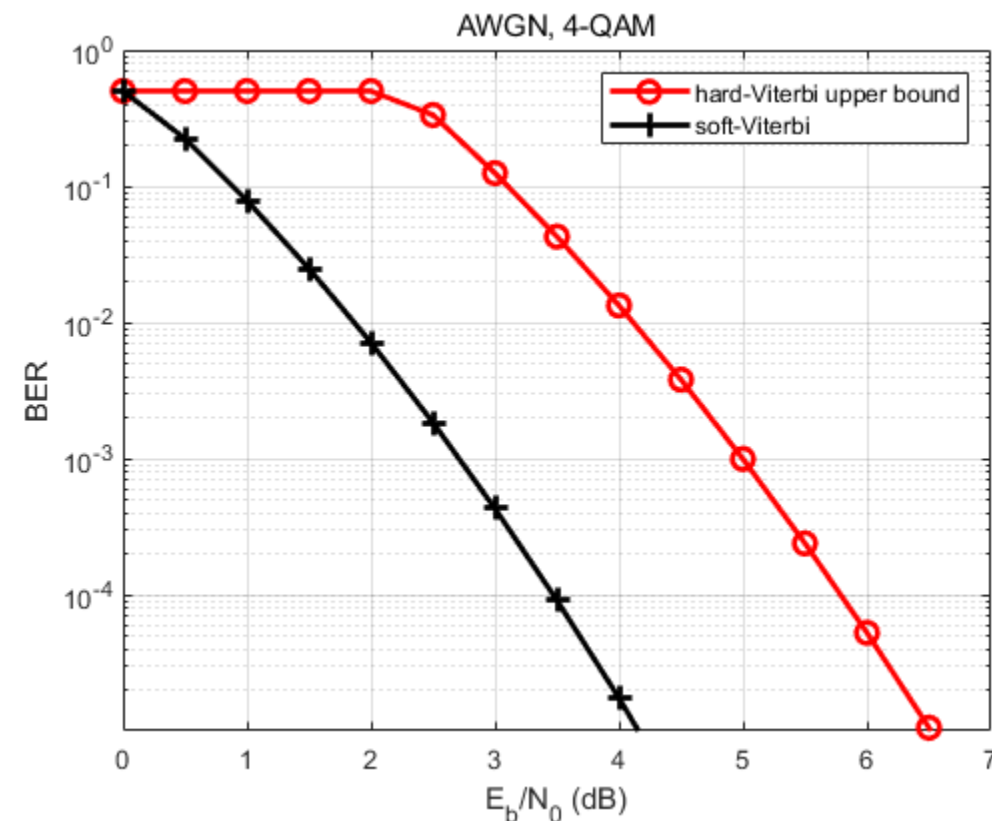
Demodulation type: ☒ Coherent

Channel coding: ☐ None ☒ Convolutional ☐ Block

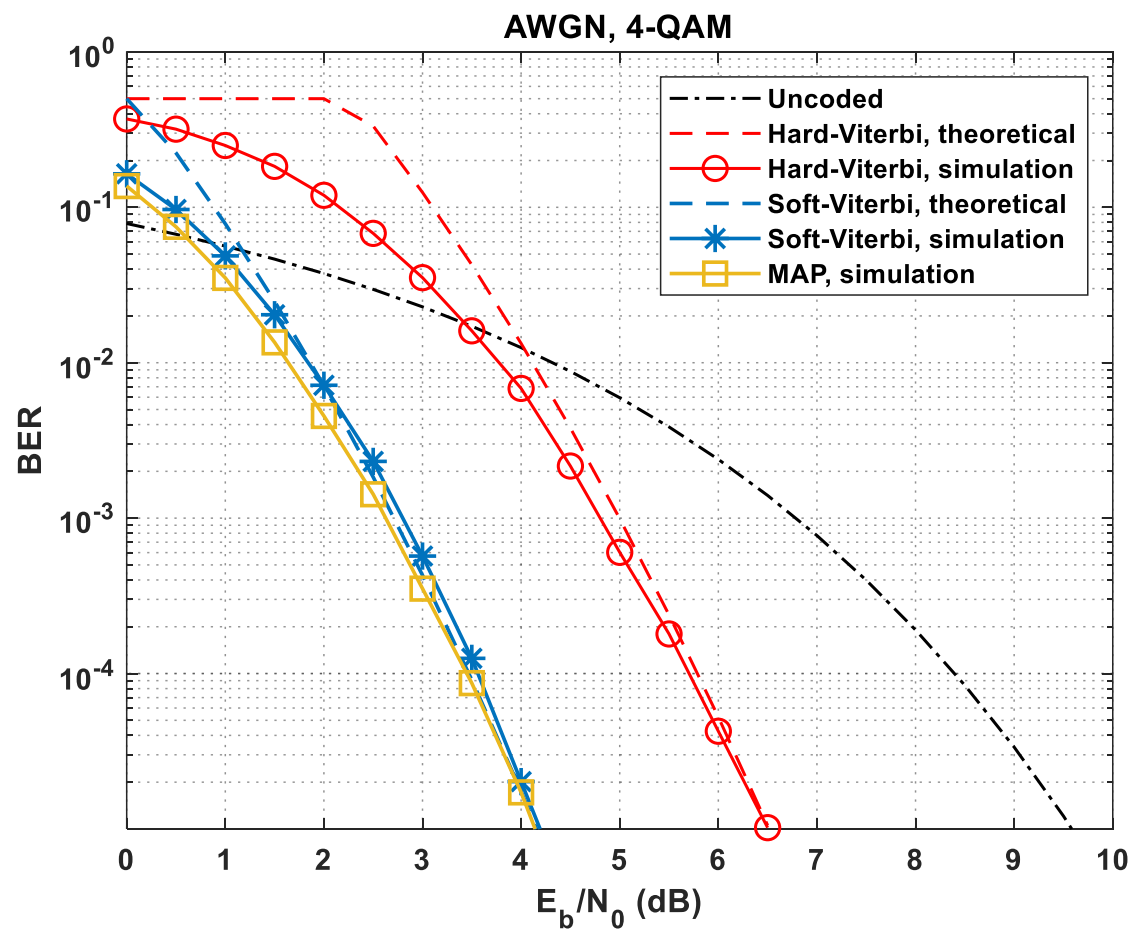
Decision method: ☒ Hard ☐ Soft

Trellis: poly2trellis(7, [171 133])

Plot



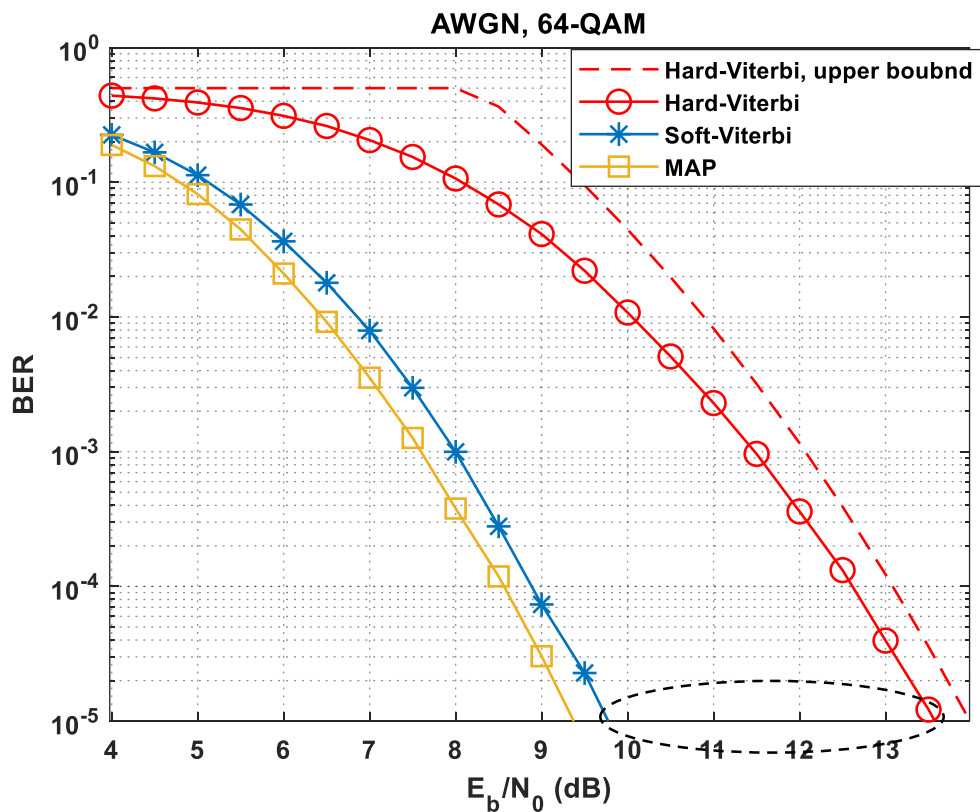
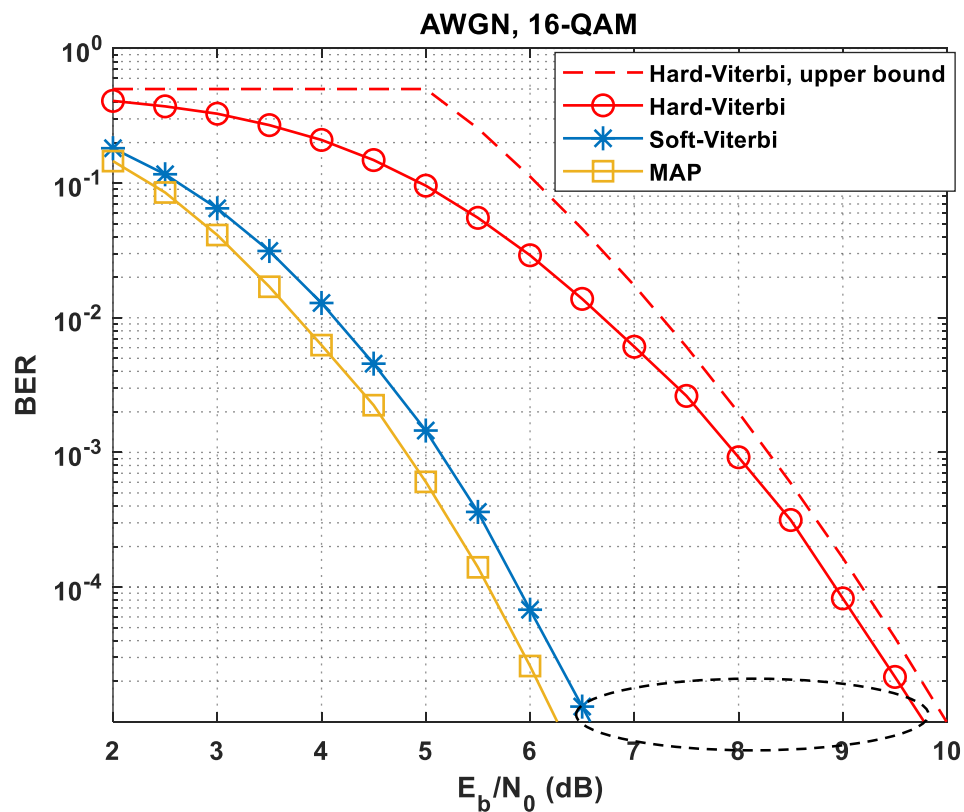
(2,1,7)卷积码性能：仿真 vs 理论



通过仿真观察到，4-QAM
调制下软判决译码约胜过
硬判决2dB多；

思考：在低信噪比区域，为何未编码系统的BER性能更好？

(2,1,7)卷积码性能：硬判决 vs 软判决



16/64-QAM调制下，软判决的性能约胜过硬判决3~4dB



目 录

01 实验背景

02 线性分组码

03 卷积编码&凿孔

04 卷积码译码

05 仿真平台介绍

06 报告要求

- 编写(2,1,7)卷积码编码模块并验证(与MATLAB自带函数进行比较)
- 对于1/2, 2/3, 3/4码率的卷积码, **任选下面两种译码模式之一**
 - 硬判决Viterbi译码
 - 软判决Viterbi译码

编写译码模块并验证 (与MATLAB自带函数进行比较, 注意凿孔的处理)

- 完成1/2, 2/3, 3/4码率, 4/16/64-QAM调制下的BER性能仿真。对于1/2码率的仿真结果, 结合BERTOOL给出的理论曲线进行对比

- 关于实验报告的完成要求：
 - 所要求递交的实验报告应该至少包含以下内容：
 - 卷积码编码实现细节与验证结果
 - Viterbi译码实现细节(包含凿孔的处理)与验证结果
 - Viterbi译码仿真结果与分析(码率1/2的仿真结果与BERTOOL理论曲线进行比较；若实现软判决译码，请在仿真结果图上标注其相对于硬判决理论曲线的性能增益)
 - 思考题的回答
 - 实验工作分工等
 - 提交时间：2022/5/30 23: 59 之前

附录

最大似然译码推导*

对于硬判决情况，编码比特 $c_i \in \{0,1\}$ ，接收判决 $r_i \in \{0,1\}$ 。由于噪声干扰，设判决错误概率为 ε ($0 < \varepsilon < 0.5$)，则对于每个条件概率 $p(r_i|c_i), i = 1, \dots, n$ ，有

$$p(r_i = 1|c_i = 0) = p(r_i = 0|c_i = 1) = \varepsilon$$

$$p(r_i = 1|c_i = 1) = p(r_i = 0|c_i = 0) = 1 - \varepsilon$$

由于各组 $\{c_i, r_i\}$ 独立同分布，似然函数 $p(\mathbf{r}|\mathbf{c}) = \prod_{i=1}^n p(r_i|c_i)$ ，最大似然译码等价于

$$\begin{aligned}\hat{\mathbf{c}} &= \underset{\mathbf{c}}{\operatorname{argmax}} \ln p(\mathbf{r}|\mathbf{c}) \\ &= \underset{\mathbf{c}}{\operatorname{argmax}} \sum_{i=1}^n \ln p(r_i|c_i) \\ &= \underset{\mathbf{c}}{\operatorname{argmax}} [d_H(\mathbf{r}, \mathbf{c}) \ln(\varepsilon) + (n - d_H(\mathbf{r}, \mathbf{c})) \ln(1 - \varepsilon)] \\ &= \underset{\mathbf{c}}{\operatorname{argmax}} \left[d_H(\mathbf{r}, \mathbf{c}) \ln \left(\frac{\varepsilon}{1 - \varepsilon} \right) + n \ln(1 - \varepsilon) \right] \\ &= \underset{\mathbf{c}}{\operatorname{argmin}} d_H(\mathbf{r}, \mathbf{c})\end{aligned}$$

对应于第16页的(2)式，即硬判决最大似然译码等价于最小化汉明距离

最大似然译码推导*

对于软判决, 编码比特 $c_i \in \{0,1\}$, 接收判决 r_i 为 c_i 经过AWGN信道后的输出, 有

$$r_i = c_i + n_i$$

其中 n_i 为均值为0, 方差为 N_0 的高斯白噪声, 则条件概率分布(高斯分布)为

$$p(r_i|c_i) = \frac{1}{\sqrt{2\pi N_0}} \exp[-(r_i - c_i)^2 / (2N_0)]$$

由于独立同分布, 似然函数 $p(\mathbf{r}|\mathbf{c}) = \prod_{i=1}^n p(r_i|c_i)$, 最大似然译码等价于

$$\begin{aligned}\hat{\mathbf{c}} &= \underset{\mathbf{c}}{\operatorname{argmax}} \sum_{i=1}^n \ln \left(\frac{1}{\sqrt{2\pi N_0}} \exp[-(r_i - c_i)^2 / (2N_0)] \right) \\ &= \underset{\mathbf{c}}{\operatorname{argmin}} \sum_{i=1}^n (r_i - c_i)^2 \\ &= \underset{\mathbf{c}}{\operatorname{argmin}} d_E(\mathbf{r}, \mathbf{c})\end{aligned}$$

对应于第16页的(3)式, 即软判决最大似然译码等价于最小化欧式距离

软判决Viterbi译码的细节补充*

软判决Viterbi的输入 r_i 是通过解调器给出的对数似然比 $LLR(c_i)$ 计算的，由公式

$$LLR(c_i) = \ln \left(\frac{\Pr[c_i = +1|r_i]}{\Pr[c_i = -1|r_i]} \right) = \frac{2r_i}{N_0}$$

r_i 是发射符号 $c_i \in \{-1, +1\}$ 经过AWGN信道后的直接观测，可计算为（平台中已给出）

$$r_i = 0.5N_0LLR(c_i)$$

第17页给出了软判决Viterbi的分支度量计算：

$$\lambda_l = \left(r_l^{(1)} - c_l^{(1)} \right)^2 + \left(r_l^{(2)} - c_l^{(2)} \right)^2$$

其中 $c_l^{(1)}, c_l^{(2)} \in \{-1, +1\}$ 。上式中与 $c_l^{(1)}, c_l^{(2)}$ 无关的量可以去掉，不影响最终对 c 的判决结果，因此将式中平方展开后丢掉无关量， λ_l 可简化计算为

$$\lambda_l = -r_l^{(1)} * c_l^{(1)} - r_l^{(2)} * c_l^{(2)}$$

从而极大地降低了计算复杂度